

鉄バクテリアによる強酸性含鉄排水処理に関する基礎的研究

東北大學 正 松本順一郎
 學 ○ 海田輝之
 學 近藤一夫

1. はじめに

東北地方は酸性河川が多く(赤川、須川、酢川等)また高濃度の還元型鉄イオンを多量に含んでいる。即ち $\text{FeS}_2 + \frac{7}{2}\text{O}_2 + \text{H}_2\text{O} \rightarrow \text{FeSO}_4 + \text{H}_2\text{SO}_4$ 等のためである。酸性水の処理法としては炭酸カルシウムによる中和法が一般に行なわれている。しかし酸性水は炭カルヒドロ反応するが Fe^{2+} とは低pHで反応しないためpHは4~5以上にはならない。 $\text{Fe}^{2+} \rightarrow \text{Fe}^{3+}$ に酸化されれば炭カルヒドロ反応し、

$\text{Fe}_2(\text{SO}_4)_3 + 3\text{Ca(O}_3 + 3\text{H}_2\text{O} \rightarrow 2\text{Fe(OH)}_3 + 3\text{Ca(O}_3 + 3\text{CO}_2$ となるためpHは上昇し鉄け水酸化鉄として沈殿除去できる。第1鉄の酸化は中性以上では空気酸化により進行するが、低pHでは進行しない。従ってこの酸化を行なうのに低pH下(pH2~3)で生息している鉄バクテリア(*Thiobacillus-ferrooxidans*)を利用すれば非常に有利になる。本研究は鉄バクテリアの鉄酸化活性に対する水温とpHおよび基質濃度の影響と回分実験により検討したものである。

2. 実験方法

鉄バクテリアは赤川より採取し9K培地で通気培養しこれを種菌とした。実験は下表に示す基質組成で温度制御つき振とう培養装置を用いて行ない水温を0℃, 10℃, 20℃, 25℃, 30℃, 35℃, 40℃の8段階とし各水温に対して初期のpHが1.3, 1.5, 1.75, 2.0, 2.5, 3.0の6段階になるよう H_2SO_4 とNaOHで調整した。菌は各温度に対して一過間以上馴養し、その増殖相を一定に保つために Fe^{2+} 濃度が50μM以下にならぬ時点で回分実験を開始した。菌数は Fe(OH)_3 の血球計数盤を用いた600倍位相差顕微鏡で計数した。鉄はJIS R102に準拠した。

3. 実験結果と考察

図1, 2, 3に10℃, 20℃, 30℃での回分実験の経過時間に対する Fe^{2+} 濃度の変化をpHをパラメータにして示す。ここぞ縦軸の尾濃度は(底の減少)= $(\text{Fe}^{2+}$ の生成)として求めた。図4にpHの経時変化を示す。pHは回分培養中に変動し初期pH3.0では低下し2.0以下では上昇する。同じ傾向が実験したすべての温度において見られた。これは次式で説明できる。

表1 基質組成

Component	Amount (g)
$\text{FeSO}_4 \cdot 7\text{H}_2\text{O}$	15.0 ($\text{Fe}^{2+}=3000\text{mg}$)
$(\text{NH}_4)_2\text{SO}_4$	3.0
$\text{MgSO}_4 \cdot 7\text{H}_2\text{O}$	0.5
K_2HPO_4	0.5
KCl	0.1
$\text{Ca}(\text{NO}_3)_2$	0.01
10N H_2SO_4	適宜
蒸留水で全量	1 l

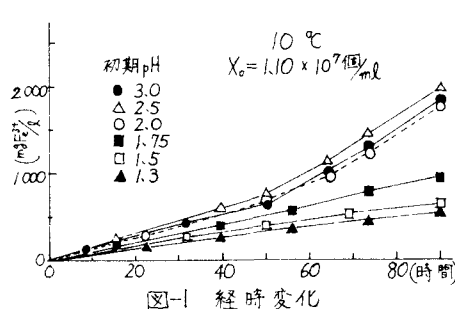


図1 経時変化

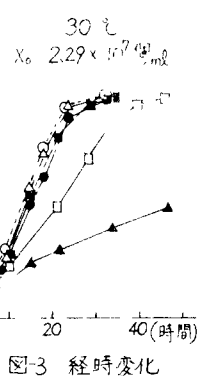
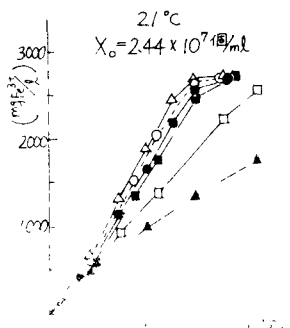


図3 経時変化

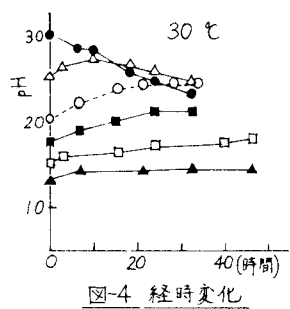
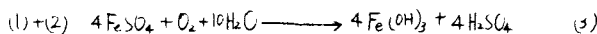
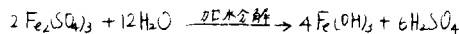
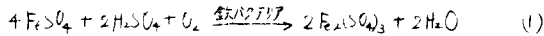


図4 経時変化



(2)式は pH 2.3 以上で進行する。よって初期 pH 2.0 以下では (1) 式までしか反応は進行せず pH は上昇し、初期 pH 3.0 では (3) 式まで進み pH が低下すると考えられる。

図 5 に初期 10 時間での比基質消費速度と水温との関係を pH をパラメータとして示す。これによれば鉄酸化活性は低温の場合に pH による影響よりも水温による影響の方が大きい、高温では熱変性による活性低下よりも pH による低下の方が大きいことがわかる。一般に微生物は最適温度より少し高い温度では熱による変性失活により活性度は急激に低下し、低温では活性度が徐々に低下すると言われており、図 5 はこの現象をよく表している。図 6 に活性が低下した水温における pH の関係を示す。これによれば失活割合が pH に依存しておる。鉄バクテリアでは pH 2.0 が最小であることがわかる。最大比基質消費速度は 30°C, pH 2.0 で $3.6 \times 10^{-7} \text{ mg Fe}^{2+}/\text{hr} \cdot \text{個}$ であった。30°C は他の研究とほぼ同じであるが pH 2.0 は 25~3.5 が最適であるという報告に比べ低い値であった。これは菌が赤川 (pH 1.6~2.0) より採取したものであるためと考えられる。最適水温は pH に依存し、低 pH では最適水温が低く pH が高くなるにつれて高い水温になることが図 5 から知られる。

図 6 に比基質消費速度の水温による影響を Arrhenius プロットで示す。表 2 に各 pH における活性化エネルギーおよび実用式である Streeter-Phephus 式により温度係数 θ , Q_{10} を示す。

図 7 は基質 (Fe^{2+}) 濃度による鉄酸化活性の影響を検討して得たものである。これよりプロットは Michaelis-Menten の式に従うことがあり比基質消費速度は次式によって表現できた。

$$V = \frac{3.6 \times 10^{-7}}{140 + S} \text{ mg Fe}^{2+}/\text{hr} \cdot \text{個}$$

参考文献

- 1) J. bacteriology vol 77, 28 (1959) "Studies on The chemoautotrophic Iron Bacterium *Ferronucleus ferrooxidans*"
- 2) Canadian journal of Chemical Engineering vol 48 (1970) "The Oxidation of Aqueous Ferric Sulfate by *Stithiobacter jumbo* oxidans"

図 8 pH と失活比

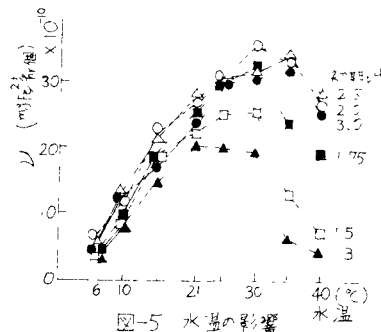


図 5 水温の影響

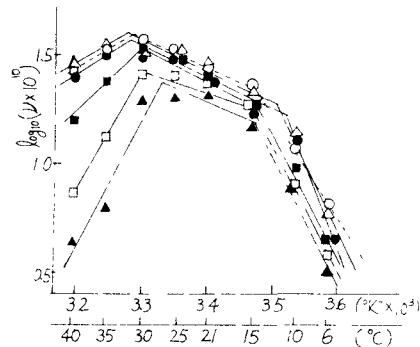


図 6 Arrhenius プロット

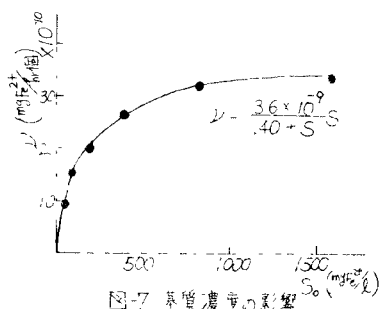


図 7 基質濃度の影響

表 2 活性化エネルギーと温度係数

初期 pH	温度範囲	E kcal/mol	θ	Q ₁₀
1.3	6~15	28.6	2.7	6.73
	15~28	4.6	0.3	34
	28~40	27.0		
1.5	6~15	27.8	2.0	6.7
	15~30	3.9	0.2	22
	30~40	24.7		
1.75	6~15	25.1	1.8	5.23
	15~30	5.7	0.4	3.8
	30~40	19.3		
2.0	6~15	21.5	1.5	4.05
	15~32	5.4	0.3	3.4
	32~40	9.1		
2.5	6~12	29.7	2.2	7.30
	12~33	5.7	0.3	34
3.0	6~11	42.5	3.2	6.56
	1~33	5.1	0.4	3.8
	33~40	7.6		